

Modeling and determining the structures and characteristics of cytochrome P450 enzymes in the entomopathogenic fungus, *Beauveria bassiana*

Maryam Rashki¹ and Mojtaba Mortazavi²

¹Assistant professor, Department of Biodiversity, Institute of Science and High Technology and Environmental Sciences, Graduate University of Advanced Technology, Kerman, Iran, 7631818356. ²Assistant professor, Department of Biotechnology, Institute of Science and High Technology and Environmental Sciences, Graduate University of Advanced Technology, Kerman, Iran.

Abstract

Background & Objectives: Cytochrome P450 enzymes are a large family of proteins containing haem and play an important role in metabolism of various compounds. Entomopathogenic fungus, *Beauveria bassiana* also contains these enzymes for targeting insect alkanes. The aim of this study was to investigate the properties and protein structure of seven cytochrome P 450 enzymes in this fungus and to predict the three-dimensional structure of these enzymes by homology modeling method.

Materials & Methods: Predicting possible situations with intracellular helices was performed with the TMHMM program. SignalP4.1 program was used to predict the probability of the presence and location of shear sites of signal peptides in amino acid sequences. Some of the physical and chemical parameters of the proteins were performed with the ProtParam program. The modeling was conducted in the Modebase database.

Results: In all sequences, a motif was identified and had about 200 amino acids that were related to P450. The motif was in the sequence of 96-45 to about 477-520. CYP539B5 and CYP52G11 proteins were stable. CYP584Q1 had the highest and CYP617N1 had the lowest hydrophilic acid of all. Among the selected models, the model with lowest e-value and the highest coverage was selected as the best model. CYP5337A1 and CYP52G11 lacked helix and CYP617N1 had two helices. Number of estimated amino acids in the helices, in all cases except CYP584Q1, CYP5337A1 and CYP52G11, was greater than 18. No signal peptide was detected.

Conclusion: In this study, the modeled structures of seven cytochrome P450 enzymes were reported for the first time in the fungus *B. bassiana*. The enzymes' stability and their resistance to adverse environmental factors such as temperature and UV can increase the fungal pathogenicity against the pests.

Keywords: *Beauveria bassiana*, Cytochrome P450, three-dimensional structure, motif, homology.

Correspondence to: Maryam Rashki

Tel: +98 3433776611

E-mail: ma_rashkigh@yahoo.com

Journal of Microbial World 2020, 13(1): 47-57.

DOI:



Copyright © 2019, This article is published in Journal of Microbial World as an open-access article distributed under the terms of the Creative Commons Attribution License. Non-commercial, unrestricted use, distribution, and reproduction of this article is permitted in any medium, provided the original work is properly cited.

مدل سازی و تعیین ساختار و ویژگی‌های آنزیم‌های سیتوکروم P450 در قارچ بیمارگر حشرات بووریا بازیانا

مریم راشکی^{۱*} و مجتبی مرتضوی^۲

استادیار، گروه تنوع زیستی، پژوهشگاه علوم محیطی، پژوهشگاه علوم و تکنولوژی پیشرفته و علوم محیطی، دانشگاه تحصیلات تکمیلی صنعتی و فناوری پیشرفته، کرمان، استادیار، گروه بیوتکنولوژی، پژوهشگاه علوم محیطی، پژوهشگاه علوم و تکنولوژی پیشرفته و علوم محیطی، دانشگاه تحصیلات تکمیلی صنعتی و فناوری پیشرفته، کرمان.

چکیده

سابقه و هدف: آنزیم‌های سیتوکروم P450 خانواده بزرگی از پروتئین‌های دارای آهن هستند و نقش مهمی در متابولیسم ترکیبات مختلف دارند. قارچ بیمارگر حشرات، بووریا بازیانا نیز حاوی این آنزیم‌ها برای هدف‌گیری آلکان‌ها در حشرات است. هدف از این پژوهش، بررسی ویژگی‌ها و ساختار پروتئینی هفت آنزیم سیتوکروم P450 در این قارچ و پیش‌بینی ساختار سه بعدی این آنزیم‌ها با روش مدلسازی همولوژی بود.

مواد و روش‌ها: برای پیش‌بینی احتمال حضور و موقعیت سایت‌های برشی پیتیدهای سیگنال در توالی‌های اسیدآمینه از برنامه SignalP4.1 استفاده شد. برخی پارامترهای فیزیکی و شیمیایی پروتئین‌های مورد نظر با برنامه ProtParam و مدل سازی در پایگاه Modebase انجام شد.

یافته‌ها: در تمامی توالی‌ها یک ناحیه حفاظت‌شده با حدود ۲۰۰ اسیدآمینه مرتبط با P450 شناسایی شد. این ناحیه حفاظت‌شده در توالی ۹۶-۴۵ تا حدود ۵۲۰-۴۷۷ قرار داشت. پروتئین‌های CYP539B5 و CYP52G11 پایدارند. CYP584Q1 بیشترین و CYP617N1 کمترین میزان اسیدآمینه آب دوست را داشت. از بین مدل‌های انتخاب شده مدلی که دارای کمترین ارزش ε و بالاترین پوشش بود، به عنوان بهترین مدل انتخاب شد. CYP52G11 و CYP5337A1 فاقد مارپیچ و CYP617N1 دارای دو مارپیچ بود. تعداد اسیدهای امینه تخمین‌زده شده در مارپیچ، در تمام موارد به جز CYP584Q1، CYP5337A1 و CYP52G11 بیشتر از ۱۸ بود. اما هیچ سیگنال پیتیدی شناسایی نشد.

نتیجه‌گیری: در این تحقیق، برای اولین بار ساختارهای سه بعدی هفت آنزیم سیتوکروم P450 در قارچ بووریا بازیانا مدل سازی شد. پایداری آنزیم‌ها و مقاومت آن‌ها در مقابل عوامل نامطلوب محیطی مانند دما و اشعه ماوراء بنفش می‌تواند میزان بیمارگری قارچ را علیه آفات افزایش دهد.

واژگان کلیدی: بووریا بازیانا، سیتوکروم P450، ساختار سه بعدی، توالی حفاظت شده، همولوژی.

دریافت مقاله: دی ۹۸ پذیرش برای چاپ: اسفند ۹۸

مقدمه

دارای زندگی فرصت طلب با دو روش بیمارگری و گندخواری

است. بدیهی است که این انعطاف‌پذیری به دلیل بیان افتراقی ژن در پاسخ به محیط اطراف می‌باشد. بیان ژن در این قارچ در

قارچ بیمارگر حشرات، بووریا بازیانا (*Beauveria bassiana*)

* آدرس برای مکاتبه: کرمان، دانشگاه تحصیلات تکمیلی صنعتی و فناوری پیشرفته، گروه تنوع زیستی.
پست الکترونیک: ma_rashkigh@yahoo.com
تلفن: ۰۴۳۳۷۷۶۶۱۱

حقوق نویسندها محفوظ است. این مقاله با دسترسی آزاد و تحت مجوز مالکیت خالقانه (<http://creativecommons.org/licenses/bync/4.0/>)

در فصلنامه دنیای میکروب‌ها منتشر شده است. هرگونه استفاده غیرتجاری فقط با استناد و ارجاع به اثر اصلی مجاز است.



پس از این ناحیه آب‌گریز، یک ناحیه لولمانند غنی از پرولین وجود دارد. قسمت انتهای کربوکسیلی سیتوکروم P450 از یک ساختار مرکزی حفاظت شده تشکیل شده که از تعدادی مارپیچ آلفا و صفحات بتا و یک ناحیه پیچیده تشکیل شده است و برای جهت‌یابی مناسب ساختار گروه پروستیک ضروری است (۵). از نظر توالی آمینواسیدی، پروتئین‌های CYP450 یک ناحیه حفاظت شده پیتیدی در نزدیکی انتهای کربوکسیل دارند که بیشترین خاصیت آنزیم‌های P450 به این ناحیه حفاظت شده مربوط می‌شود. این سیستئین در نزدیک بسته متصل به سوبسترا قرار گرفته است و در انتقال یک اتم اکسیژن اتمسفری به سوبسترا نقش دارد (۶). مطالعات بسیار کمی در رابطه با خصوصیات مولکولی، ویژگی‌های فیزیکوشیمیایی و توپولوژی آنزیم‌های سیتوکروم P450 قارچ بیمارگر حشرات بووریا بازیانا صورت گرفته است. همچنین، با توجه به این که تاکنون ساختار سه بعدی برای هفت آنزیم یادشده در پایگاه بانک داده‌های پروتینی گزارش نشده است. بدین منظور، از نرمافزارهای مختلف و پایگاه‌های اطلاعاتی محاسبه ای مانند مدبیس (Modebase) برای مدل سازی استفاده شد. با این روش پیوندهای اسیدهای آمینه کلیدی و ساختار سه بعدی جایگاه فعال تعیین شد. اهمیت این داده‌ها در این است که با مهندسی آنزیم امکان افزایش میزان بیمارگری قارچ وجود خواهد داشت؛ همچنین، پیش‌بینی ساختار سه بعدی آنزیم‌های سیتوکروم P450 قارچ بیمارگر حشرات بووریا بازیانا منبع مهم اطلاعاتی برای درک بهتر عملکرد آن، برهم کنش آن با اجزای دیگر (لیگاندها، پروتئین و DNA) و فهم اثرات فنوتیپیکی جهش‌ها برای ویژگی‌ها و ساختار پروتینی هفت آنزیم سیتوکروم P450 قارچ بیمارگر حشرات بووریا بازیانا و پیش‌بینی ساختار سه بعدی این آنزیم‌ها با روش مدل سازی هومولوژی بود.

مواد و روش‌ها

(الف) انتخاب داده‌ها و بررسی توالی پروتئین‌های آنزیم سیتوکرم P450 قارچ بیمارگر بووریا بازیانا: ابتدا کدھای مربوط به هفت

پاسخ به کوتیکولهای مختلف حشرات تغییر می‌کند. این ژن‌ها دارای نقش‌های مختلف هستند و طبیعت عمومی خواری این قارچ را با نفوذ به داخل کوتیکول بسیاری از حشرات مختلف شکل می‌دهند (۱). محصولات تولید شده براساس بووریا بازیانا و متاریزیوم آنیزوپلایه (*Metarhizium anisopliae*) با ۳۳/۹ درصد، بیشترین حشره‌کش‌ها و کنه‌کش‌های قارچی را تشکیل می‌دهند (۲). قارچ بووریا بازیانا به طور طبیعی در بیش از ۷۰۰ گونه میزبان یافت شده است. آفات هدف این قارچ شامل ساقه خوار آسیایی و اروپایی ذرت، سفید بالک‌ها، تریپس‌ها، شته‌ها و شپشک‌های آردآلود روی گیاهان ذرت، سبزیجات و گیاهان زیستی هستند (۳). آنزیم‌های سیتوکروم P450 خانواده بزرگی از پروتئین‌های دارای آهن را تشکیل می‌دهند که در شکل‌های مختلف زندگی شامل پروکاریوت‌ها و یوکاریوت‌ها پخش شده‌اند. این آنزیم‌ها نقش مهمی در متابولیسم ترکیبات مختلف و تغییر کاتالیز دامنه وسیعی از ترکیبات چربی دوست بازی می‌کنند. قارچ بیمارگر حشرات، بووریا بازیانا حاوی یک سری از این آنزیم‌ها برای هدف‌گیری لیپیدهای حشرات میزبان است. تجزیه و تحلیل بیان ژن‌های کد کننده این آنزیم‌ها، نشان دهنده القای افتراقی آن‌ها بوسیله زنجیره بلند آلکان و لیپیدهای حشرات است و هفت آنزیم سیتوکروم P450 در قارچ بیمارگر حشرات، بووریا بازیانا، GU566075، GU566074 با کدھای ATCC90517، GU566079، GU566078 و GU566077 در پایگاه مرکز ملی اطلاعات بیوتکنولوژی ثبت شده‌اند (۴). به طورکلی، هر کدام از پروتئین‌های CYP450 دارای یک گروه پروتوبورفیرین (protoporphyrin) دارای آهن می‌باشد. گروه پروستیک با داشتن آهن، این خانواده را به آنزیم‌های مونواکسیژنаз تبدیل کرده است. ساختار این آنزیم‌ها از سه ناحیه تشکیل شده است. ناحیه انتهای آمینی پروتین که آب‌گریز و دارای یک توالی است که به درون غشا نفوذ می‌کند. همچنین، در این ناحیه یک توالی متوقف کننده انتقال وجود دارد که مانند یک لنگر درون غشا عمل کرده و جهت‌یابی توپولوژیکی سیتوکروم P450 را تعیین می‌کند (۵).

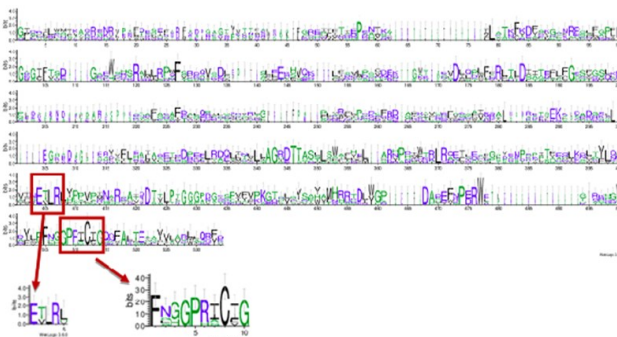
ج) مدل سازی آنزیم‌های سیتوکروم P450 قارچ بیمارگر بووریا بازیانا بر پایه همولوژی به منظور مدلسازی پروتین‌های مورد بررسی از پایگاه مدبیس (<https://modbase.compbio.ucsf.edu>) استفاده شد (۱۲). در پایگاه (ModePipe) یادشده با استفاده از برنامه مدلسازی مدپایپ (ModePipe) توالی‌های مورد بررسی با پروتین‌های دارای ساختار سه بعدی در پایگاه بانک داده‌های پروتینی مقایسه شدند. این ساختارها دارای کیفیت بالا و حاصل روش کریستالوگرافی یا رزونانس مغناطیسی هسته‌ای (Nuclear magnetic resonance) بودند. در نهایت، مدل با کمترین ارزش e (e-value) و بالاترین پوشش به عنوان بهترین مدل برای هر پروتین انتخاب شد. برای بررسی کیفیت مدل‌های پیش‌بینی شده از دو روش استفاده شد. در ابتدا نمودار راماچاندران با برنامه SwissPDB viewer برای نشان دادن دامنه اندازه زاویه‌های دهیدرال اسیدهای آمینه رسم شد (۱۳). سپس برای یافتن خطاهای احتمالی در مدل‌های موجود از برنامه ProSA استفاده شد و نمودار انرژی مربوط به مدل‌ها نیز رسم شد (۱۴ و ۱۵). تعداد مارپیچ‌های آلفا و صفحات بتا در مدل‌های پیش‌بینی شده پس از به تصویر کشیده شدن با برنامه Stride Web interface شمارش شد.

نتایج

الف) بررسی ویژگی‌ها و ساختار پروتئینی آنزیم‌های سیتوکرم P450 قارچ بیمارگر بووریا بازیانا: نتایج حاصل از بررسی موقعیت دقیق نواحی حفاظت شده با برنامه موتیف سرچ در جدول ۲ آورده شده است. تمامی توالی‌های مورد بررسی یک ناحیه حفظ شده با حدود ۲۰۰ اسید آمینه مرتبط با P450 دارند. این ناحیه حفظ شده در توالی ۹۶-۴۵ تا حدود ۴۷۷ قرار داشت. نواحی حفاظت شده با برنامه وبلوگو نسخه ۲.۸.۲ نیز مورد بررسی قرار گرفت (شکل ۱). دو ناحیه حفاظت شده در FXXGXRXCXG (CXG) در ناحیه متصل شده به آهن و EXXR در مارپیچ K (K-helix) قابل شناسایی بود (شکل ۱). ناحیه حفاظت شده CXG دارای ۱۰ اسید آمینه و ناحیه EXXR دارای سه اسید آمینه است.

آنژیم مختلف سیتوکروم P450 در قارچ بیمارگر حشرات بووریا بازیانا سوبه ATCC90517 مشخص شدند (۴) و با مراجعه به پایگاه مرکز ملی اطلاعات بیوتکنولوژی، توالی ژن‌های مربوط به هر آنزیم جستجو و پس از مرتب کردن، به شکل فستا (FASTA) ذخیره شدند (جدول ۱). حفاظت شده‌ترین توالی ثانی P450 در قارچ‌ها با نام CYP51F1 مربوط به مخمر ساکارومیسنس سرویزیه (*Saccharomyces cerevisiae*) (با کد U10555) به عنوان مرجع مورد استفاده قرار گرفت. ب) بررسی ویژگی‌ها و ساختار پروتئینی آنزیم‌های سیتوکرم P450 قارچ بیمارگر بووریا بازیانا: برای مشاهده موقعیت نواحی حفاظت شده در هر توالی پروتئینی، از سایت جستجوی موتیف (MOTIF Search) استفاده شد. برنامه موجود در این سایت با استفاده از پایگاه داده PFAM به یافتن و بررسی نواحی حفاظت شده روی پروتئین‌ها می‌پردازد. سپس نواحی حفاظت شده با جزئیات بیشتر با برنامه وبلوگو نسخه ۲.۸.۲ (Weblogo.v.2.8.2) بررسی و به تصویر کشیده شدند. برای پیش‌بینی موقعیت‌های احتمالی دارای مارپیچ‌های درون‌غشایی در ساختارهای پروتئینی مورد نظر از برنامه TMHMM (در <http://www.cbs.dtu.dk/services/TMHMM>) استفاده شد. این برنامه از مدل هیدن مارکف (hidden Markov) برای یافتن مارپیچ‌ها استفاده می‌کند. بر اساس دستورالعمل برنامه در صورتی که تعداد اسیدهای آمینه تخمین‌زده شده (ExpAA) در مارپیچ بیشتر از ۱۸ باشد احتمال وجود یک پروتئین درون‌غشایی افزایش می‌یابد (۸ و ۹). در ادامه، برای پیش‌بینی احتمال حضور و موقعیت سایت‌های برشی پیتیدهای سیگنال در توالی‌های اسید آمینه از برنامه سیگنال P نسخه ۴.۱ (SignalP4.1) استفاده شد. در این برنامه با توجه به ماهیت ارگانیسم بکار رفته در قسمت گروه ارگانیسم، گزینه یوکاریوت انتخاب شد. برنامه مورد نظر وجود پیتید سیگنال را با محاسبه شاخص D (D-score) در موقعیتی با بیشترین احتمال حضور محاسبه می‌کند. برای بررسی برخی پارامترهای فیزیکی و شیمیایی پروتئین‌های مورد نظر از برنامه پروت پارام (ProtParam) استفاده شد (۱۱).

فیزیکی و شیمیایی پروتین‌های مورد بررسی از برنامه پروت پارام (ProtParam) استفاده شد (جدول ۵). وزن مولکولی پروتین‌های مورد بررسی بین ۵۷ تا ۶۴ کیلو دالتون محاسبه شد. نتایج حاصل از محاسبه میزان ناپایداری پروتین نشان داد که پروتین‌های CYP539B5 و CYP52G11 (با شاخص ناپایداری کمتر از ۴۰) پایدارند. میزان آبگریز یا آب دوست‌بودن اسیدهای آمینه موجود در پروتین نشان داد که CYP617N1 و CYP584Q1 کمترین میزان اسید آمینه



شکل ۱: موقعیت نواحی حفاظت شده شامل CXG و EXXR.

بر اساس نتایج حاصل، تعداد مارپیچ‌ها در توالی‌های مختلف از CYP52G11 و CYP5337A1 (۳)، CYP617N1 (با بیشترین طول) فاقد مارپیچ یادشده و CYP51F1 (با بیشترین آمینه تخمین‌زده شده در مارپیچ، در تمام موارد به جز CYP584Q1 دارای دو مارپیچ بود. تعداد اسیدهای آمینه CYP52G11 و CYP5337A1 بیشتر از ۱۸ بود. در صورتی که تعداد اسیدهای آمینه تخمین‌زده شده در مارپیچ، بیشتر از ۱۸ باشد احتمال وجود یک پروتین درون غشایی بیشتر می‌شود. تعداد اسیدهای آمینه موجود در مارپیچ‌های غشایی در ۶۰ اسید آمینه اول پروتین‌ها بین ۳/۸۸ و ۴۰/۹۰ تخمین زده شد. برای شناسایی پیتیدهای سیگنال از برنامه سیگنال P نسخه ۴.۱ (SignalP 4.1) استفاده شد (جدول ۴). بر اساس مدل هیدن مارکف در این تحقیق، یک تا دو مارپیچ شناسایی شد، اما سیگنال پیتید در هیچ یک از توالی‌های مورد بررسی شناسایی نشد. ناجیه برشی در توالی‌های مختلف بین موقعیت‌های ۳۱-۱۴ قرار داشتند (جدول ۴). برای بررسی برخی پارامترهای

جدول ۱: مشخصات ژن‌های هفت آنزیم سیتوکروم P450 در قارچ بوروریا بازیان.

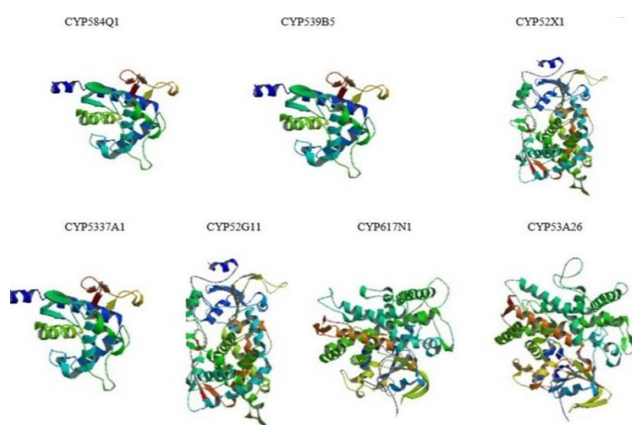
کد آنزیم	ژن	اندازه نوكلئوتید (جفت باز)	کد پروتین	اندازه پروتین (اسید آمینه)
GU566080	CYP584Q1	۳۸۸۲	ADK36666	۵۳۹
GU566077	CYP539B5	۳۸۸۱	ADK36663	۵۱۵
GU566074	CYP52X1	۳۸۲۳	ADK36660	۵۲۸
GU566075	CYP5337A1	۴۹۳۰	ADK36661	۵۳۴
GU566076	CYP52G11	۵۶۴۰	ADK36662	۵۲۸
GU566078	CYP617N1	۵۴۵۹	ADK36664	۵۴۹
GU566079	CYP53A26	۲۲۲۵	ADK36665	۵۱۳

جدول ۲: مشخصات عملکرد پروتئینی با TMHMM.

کد ژن	طول	تعداد اسید آمینه	تعداد اسید آمینه در ۶۰ اسید آمینه اول	تعداد مارپیچ آمینه شده	تعداد مارپیچ آمینه شده اسید آمینه اول	تپولوژی
CYP584Q1	۵۳۹	۱۷/۱۴	۱۷/۱۱	۱	i21-40o	
CYP539B5	۵۱۵	۲۱/۶۴	۲۱/۴۸	۱	i9-31o	
CYP52X1	۵۲۸	۲۲/۰۸	۲۲/۰۴	۱	i7-29o	
CYP5337A1	۵۳۴	۱۴/۷۹	۱۳/۸۳	۰	o	
CYP52G11	۵۲۸	۴/۰۰	۳/۸۸	۰	o	
CYP617N1	۵۴۹	۵۳/۲۹	۴۰/۹۰	۲	o10-29i36-58o	
CYP53A26	۵۱۳	۲۴/۱۵	۲۲/۴۴	۱	i7-29o	
CYP51F1	۵۳۰	۴۳/۰۹	۲۰/۰۰	۲	o29-51i58-80o	

جدول ۳: موقعیت نواحی حفاظت شده بر اساس نتایج حاصل از متوفی سرچ در هفت آنزیم سیتوکروم P450 در قارچ بوروریا بازیان.

کد ژن	موقعیت ابتدایی	موقعیت انتهایی	شاخص e
CYP584Q1	۸۲	۴۹۵	۲/۵۵-۵۲
CYP539B5	۹۳	۴۷۷	۱/۸۵-۶۱
CYP52X1	۹۶	۴۹۶	۲۵-۵۹
CYP5337A1	۹۰	۵۱۶	۱/۳۵-۴۷
CYP52G11	۷۸	۴۹۷	۹۵-۵۹
CYP617N1	۷۲	۵۲۲	۲/۸۵-۷۲
CYP53A26	۴۵	۵۰۷	۱۷/۳۵-۸۹



شکل ۲: ساختار سه بعدی مدل‌های پیش‌بینی شده آنزیم‌های سیتوکرم P450 در قارچ بوروریا بازیانا.

جدول ۴: بررسی پپتید سیگنال با سیگنال پ.

کد زن	D	شاخص	موقعیت	وجود سیگنال پپتید
CYP584Q1	۰/۲۰۴	۱-۱۴	خیر	
CYP539B5	۰/۲۲۷	۱-۳۱	خیر	
CYP52X1	۰/۳۵۳	۱-۱۹	خیر	
CYP5337A1	۰/۳۳۴	۱-۲۲	خیر	
CYP52G11	۰/۳۳۹	۱-۱۸	خیر	
CYP617N1	۰/۳۰۸	۱-۱۸	خیر	
CYP53A26	۰/۳۹۷	۱-۱۶	خیر	

آب دوست را در بین سایرین دارند. شاخص حضور زنجیره‌های آلیفاتیک (*aliphatic index*) در پروتئین با میزان تحمل به حرارت رابطه مستقیم دارد. بیشترین شاخص حضور زنجیره‌های آلیفاتیک محاسبه شده مربوط به CYP52X1 و کمترین مربوط به CYP617N1 بود.

ب) مدل سازی آنزیم‌های سیتوکرم P450 قارچ بیمارگر بوروریا بازیانا بر پایه همولوژی: نتایج حاصل از مدل سازی هفت آنزیم مورد بررسی در شکل ۲ مشاهده می‌شود. شمارش تعداد مارپیچ‌های آلفا و صفحات بتا با برنامه Stride Web interface انجام شد. تعداد مارپیچ‌های آلفا ۷ تا ۱۸ و صفحات بتا ۴ تا ۱۳ بود (جدول ۶). برای بررسی برهم کنش زوایای دهیدرال اسیدهای آمینه، نمودار راماچاندران رسم شد. همان گونه که در شکل ۳ مشاهده می‌شود اکثر اسیدهای آمینه در محدوده مرزهای نمودار قرار گرفته اند و برهم کنش مناسبی بین زوایای دو وجهی مشاهده می‌شود. ارزیابی کیفیت مدل‌های رسم شده با بررسی کیفیت مدل بر اساس انرژی و محاسبه شاخص Z

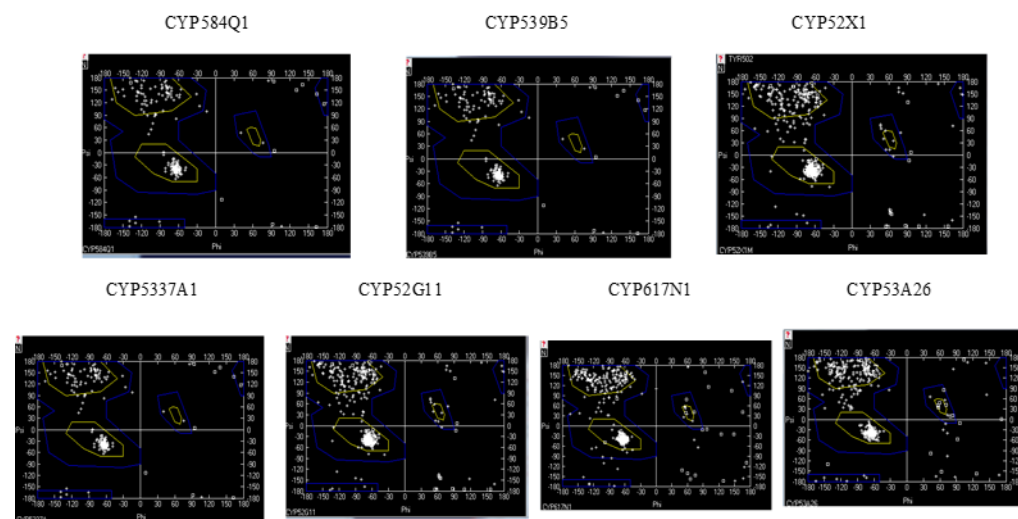
جدول ۵: نتایج حاصل از آنالیز پروتئین‌های مورد بررسی با ProtParam.

آب گریزی و یا آب دوستی	شاخص آلفا و شاخص ناپایداری	آرژین + لیزین	آسپارتیک + گلوتامیک	نقطه ایزوکتریک تئوری	وزن مولکولی	کد
-۰/۳۴۰	۸۷/۶۳	۴۰/۷۵	۷۱	۸/۳۲	۶۴۳۲۰/۸۲	CYP584Q1
-۰/۱۸۹	۸۶/۵۲	۳۹/۰۱	۵۶	۷/۴۸	۵۸۷۲۰/۴۰	CYP539B5
-۰/۳۱۱	۸۴/۰۷	۴۰/۰۶	۶۵	۷/۲۷	۵۹۴۸۰/۶۶	CYP52X1
-۰/۱۳۲	۹۰/۳۶	۴۳/۰۹	۵۸	۸/۸۲	۵۸۲۷۱/۶۵	CYP5337A1
-۰/۲۸۸	۸۷/۵۶	۳۸/۵۱	۶۵	۸/۴۴	۵۹۳۳۲/۰۸	CYP52G11
-۰/۰۲۰	۹۵/۰۹	۴۱/۰۴	۵۳	۷/۵۸	۶۰۰۵۰/۹۸	CYP617N1
-۰/۲۹۳	۸۵/۹۸	۴۲/۱۲	۶۱	۷/۶۶	۵۷۵۵۷/۸۰	CYP53A26

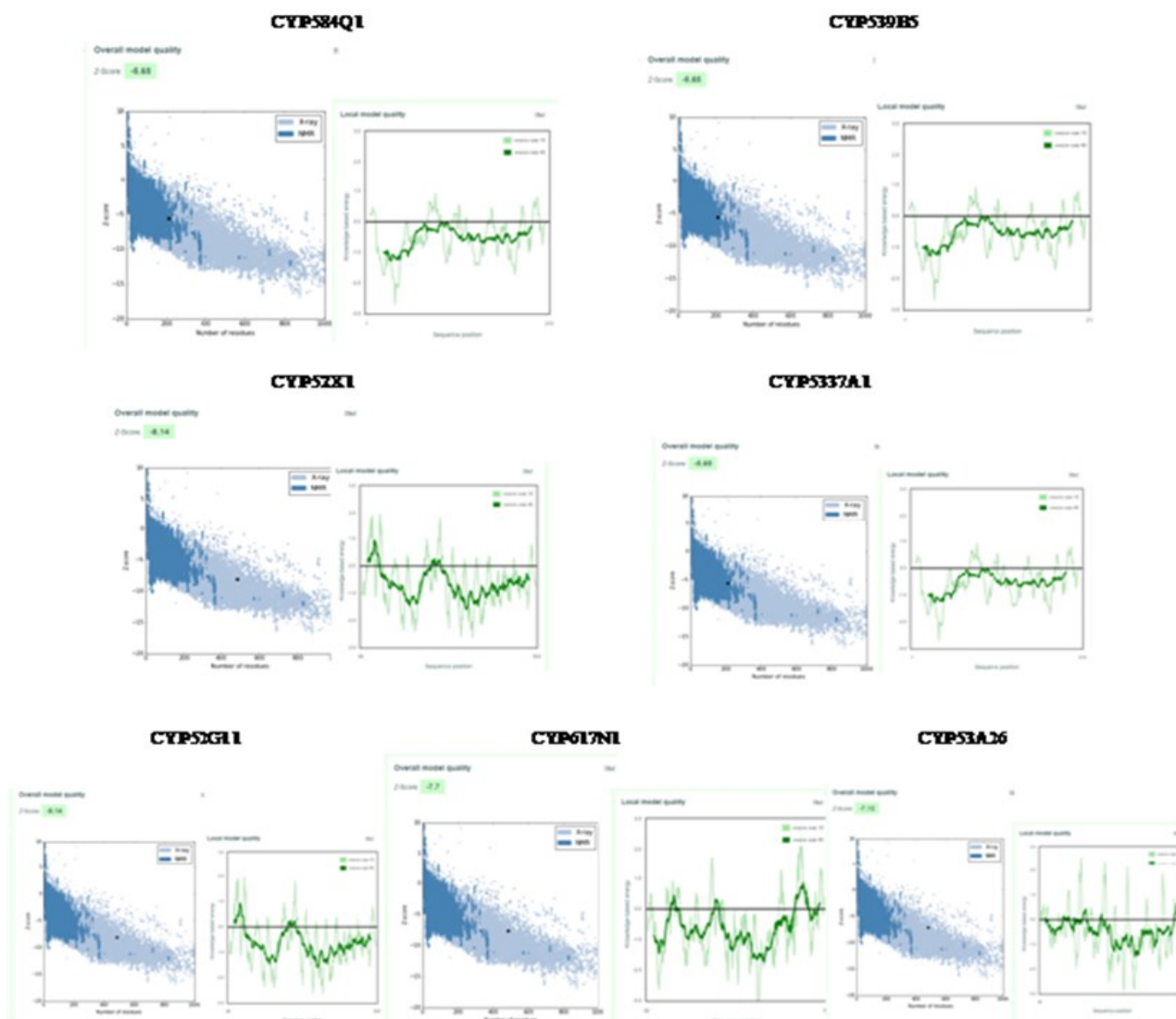
جدول ۶: مشخصات الگوی مدل سازی پروتئینی آنزیم‌های سیتوکرم P450 در قارچ بوروریا بازیانا.

تعداد مارپیچ آلفا و صفحات بتا در مدل	ارگانیسم الگو	مشخصات	روش شناسایی الگو	شناسه پروتئین در بانک اطلاعاتی	کد
۷؛ ۴ ص	(<i>Candida maltosa</i>) کاندیدا مالتوزا	مونومر	اشعه ایکس	1pq2A	CYP584Q1
۷؛ ۴ ص	(<i>Candida maltosa</i>) کاندیدا مالتوزا	مونومر	اشعه ایکس	1pq2A	CYP539B5
۹؛ ۱۸ ص	(<i>Debaromyces hansenii</i>) دبارومیتس هنسنی	مونومر	اشعه ایکس	1tqnA	CYP52X1
۷؛ ۴ ص	(<i>Candida maltosa</i>) کاندیدا مالتوزا	مونومر	اشعه ایکس	1pq2A	CYP5337A1
۹؛ ۱۷ ص	(<i>Debaromyces hansenii</i>) دبارومیتس هنسنی	مونومر	اشعه ایکس	1tqnA	CYP52G11
۱۷؛ ۱۳ ص	(<i>Oryza sativa</i>) اوریزا ساتیوا	مونومر	اشعه ایکس	1bu7A	CYP617N1
۱۶؛ ۱۳ ص	(<i>Aspergillus niger</i>) آسپرژیلوس نایجر	مونومر	اشعه ایکس	1bu7A	CYP53A26

دنیای میکروب‌ها، سال سیزدهم شماره اول بهار ۱۳۹۹. مدل سازی و تعیین ساختار و ویژگی‌های آنزیم‌های سیتوکروم P450 در قارچ پیمارگر حشرات بوروریا بازیان. مریم راشکی و همکاران



شکل ۳: نمودار راماچاندران.



شکل ۴: نتایج حاصل از ProSA

در نوع وحشی و جهش یافته سیتوکروم P450 کد 1A2 با استفاده از شبیه سازهای مولکولی تعیین شد و نتایج نشان داد که ساختار جهش‌های موجود در باقی مانده‌های اسید‌آمینه در بخش‌های دور از این پروتئین‌ها نیز تغییر کرده است و همچنین مشخص شد که تنها جهش در یک اسید‌آمینه، می‌تواند موجب تغییر خمسه‌ای ساختاری پروتئین‌ها شود و ممکن است روی شناسایی سوبسترا و فعالیت آنزیم موثر باشد (۲۲). بر اساس تجزیه و تحلیل محصولات پروتئینی پیش‌بینی شده در ژن سیتوکروم P450 در قارچ بووریا بازیانا، CYP5337A1 اولین عضو یک خانواده جدید از سیتوکروم P450 بود. اما عضویک خانواده جدید از سیتوکروم CYP584Q1 و CYP617N1، CYP52X1 آنزیم‌های سیتوکروم P450 روی بسیاری از مولکول‌های داخلی و خارجی عمل می‌کند که از جمله این مولکول‌ها می‌توان به آلکان‌ها یعنی ترکیب اصلی هیدروکربنی کوتیکول بسیاری از حشرات اشاره کرد (۲۳). مسیر اکسیداسیون در موجودات یوکاریوت بوسیله یک سیستم آنزیمی پ ۴۵۰ شروع می‌شود. آنزیم منواکسیژناز P450 به وسیله یک آنزیم احیا کننده نیکوتینامید آدنین دی‌نوكلئوتید فسفات (NADPH) در سیتوکروم P450 عمل می‌کند و ابتدا در تعدادی از مخمرها تشریح شد درحالی‌که، پراکنش آن‌ها در قارچ‌های آسکومیست نادر بود (۲۴ و ۲۵). آنزیم‌های تجزیه کننده کیتین در تجزیه پسماندهای کیتینی و در نتیجه تولید الیگوساکاریدها و کاربرد در صنعت و کنترل بیولوژیک آفات در کشاورزی نقش دارند. قارچ‌های مفید آنزیم کیتیناز را به صورت طبیعی بصورت اندک تولید می‌کنند. از این رو، استفاده از تکنولوژی نوترکیبی DNA می‌تواند راهکار مناسبی برای افزایش میزان تولید این آنزیم‌ها در مقیاس صنعتی باشد. بدین منظور، محققان نشان دادند که در بهترین شرایط میزان بیان پروتئین نوترکیب نسبت به پروتئین تمام برابر $57/45$ درصد بوده است (۲۶). در تحقیق حاضر، ویژگی‌های پروتئینی و نواحی حفاظت شده که نقش مهمی در اتصال به آهن داشتند، در هفت آنزیم سیتوکروم P450 در قارچ بیمارگر حشرات بووریا بازیانا با استفاده از نرم‌افزارهای معتبر

(Z-score) با استفاده از برنامه ProSA صورت گرفت. همان گونه که در شکل ۴ مشاهده می‌شود در همه موارد میزان انرژی زیر صفر و شاخص زی نشان دهنده مناسب بودن مدل رسم شده است. تمام مدل‌ها در محدوده ساختارهای سه بعدی تعیین شده با روش اشعه ایکس قرار می‌گیرند.

بحث

بررسی توالی پروتئینی P450 در برخی گیاهان وجود یک پیتید سیگنال را نشان می‌دهد که هدف برخی از آن‌ها پلاستید و یا میتوکندری است (۱۶). پروتئین‌های درون غشایی امکان ورود و انتقال سوبستراهای مختلف را از طریق غشا فراهم می‌سازند. در تایید این ویژگی و بر اساس مدل هیدن پیتید در هیچ کدام از توالی‌های مورد بررسی شناسایی شد، اما سیگنال پیتید در هیچ کدام از دادند که در انتهای یک قطعه آب‌گریز متعلق به ۲۰ اسید‌آمینه باقی مانده، فرایند داخل شدن در غشا متوقف می‌شود که احتمالاً یک مارپیچ را برای کاهش هزینه‌های انرژی بر، برای جایگیری پیتید قطبی در هسته غیرقطبی دولایه تشکیل می‌دهد (۱۷). در تحقیق حاضر، تعداد مارپیچ‌های آلفا ۷ تا ۱۸ و صفحات بتا ۴ تا ۱۳ بود. بررسی‌های انجام شده در گذشته، روی ساختار سه بعدی P450 در استریپومیسیس کولیس کولر (Streptomyces coelicolor) نشان دهنده ۱۲ مارپیچ آلفای اصلی و سه گروه صفحات بتا بود (۱۸). شواهد آزمایشگاهی نشان می‌دهد اما، در تحقیق حاضر تنها به صورت مونومر مشاهده شد. این انعطاف‌پذیری برای جهت‌یابی مجدد صفحات جلویی مربوط به مارپیچ‌های درون غشایی برای تشکیل یک دیمر P450 از طریق تعاملات ناحیه مارپیچ اف-جی ضروری است. دیمریزاسیون P450 در غشا در برخی موارد از واکنش احیا توسط سیتوکروم P450 راکتاز میکروزومی خودداری می‌کند، بنابراین مونومر احتمالاً شکل فعال و غالب این آنزیم است (۲۰). ویژگی جالب ساختار P450 توانایی در سازگاری با اندازه‌ها و شکل‌های مختلف بستر فعالیت آن‌ها می‌باشد (۲۱). ساختارهای سه بعدی و انعطاف‌پذیری ساختار

(۶). پایداری آنزیم‌ها و مقاومت آن‌ها در مقابل عوامل نامطلوب محیطی مانند دما و اشعه ماورای بنفش می‌تواند میزان بیمارگری قارچ بیمارگر حشرات بووریا بازیانا را علیه حشرات آفت افزایش دهد. در نتیجه با مهندسی این آنزیم‌ها امکان افزایش میزان بیمارگری قارچ وجود خواهد داشت.

ملاحظات اخلاقی

نویسنده‌گان تمامی نکات اخلاقی شامل عدم سرقت ادبی، انتشار دوگانه، تحریف داده‌ها و داده سازی را در این مقاله رعایت کرده‌اند.

تشکر و قدردانی

این پژوهش با حمایت مالی دانشگاه تحصیلات تکمیلی صنعتی و فناوری پیشرفته و به شماره طرح ۹۱۸/۹۶/ص ۷ انجام شد.

تعارض در منافع

وجود ندارد.

نتیجه‌گیری

اطلاعات ساختاری جدید از این آنزیم‌ها به ویژه در درک بهتر آنزیم سیتوکروم P450 و چگونگی سازگار شدن جایگاه فعال آن با سوبستراهای متنوع از نظر اندازه و شکل مفید خواهد بود.

References

- Pathan AAK, Devi KU, Vogel H, Reineke A. Analysis of differential gene expression in the generalist entomopathogenic fungus *Beauveria bassiana* (Bals.). Fungal Genet and Biol. 2007; 44: 1231-1241.
- Faria MRde, Wraight SP. Mycoinsecticides and mycoacaricides: a comprehensive list with worldwide coverage and international classification of formulation types. Biol Control. 2007; 43: 237-256.
- Inglis GD, Goettel MS, Butt TM, Strasser H. Use of hyphomycetous fungi for managing insect pests. In: Butt TM, Jackson C, Magan N, editors. Fungi as biocontrol agents: progress, problems and potential. CABI Publishing; 2001: 23-69.
- Pedrini N, Zhang Sh, Juarez MP, Keyhani NO. Molecular characterization and expression analysis of a suite of cytochrome P450 enzymes implicated in insect hydrocarbon degradation in the entomopathogenic fungus *Beauveria bassiana*. Microbiology. 2010; 156: 2549-2557.
- Stoilov I. Cytochrome P450s: coupling development and environment. Trends Genet. 2001; 17 (11): 629-632.
- Poulos TL, Johnson EF. Structures of Cytochrome P450 Enzymes. In: Montellano PROde, editors. Cytochrome P450. Springer International Publishing Switzerland; 2015: 3-32.
- Crooks GE, Hon G, Chandonia JM, Brenner SE. WebLogo: a sequence logo generator. Genome Res. 2004; 14(6): 1188-1190.

8. Sonnhammer ELL, von Heijne G, Krogh A. A hidden Markov model for predicting transmembrane helices in protein sequences. In: Glasgow J, Littlejohn T, Major F, Lathrop R, Sankoff D, Sensen C, editors. Proceeding of the Sixth International Conference on intelligent systems for molecular biology. AAAI press, Menlo Park, CA; 1998: 175-182.
9. Krogh A, Larsson B, von Heijne G, Sonnhammer ELL. Predicting transmembrane protein topology with a hidden Markov modeling application to complete genomes. *J Mol Biol.* 2001; 305: 567-580.
10. Petersen TN, Brunak S, von Heijne G, Nielsen H. SignalP 4.0: discriminating signal peptides from transmembrane regions. *Nat Methods.* 2011; 8: 785-786.
11. Gasteiger E, Hoogland C, Gattiker A, Duvaud S, Wilkins MR, Appel RD, Bairoch A. Protein identification and analysis tools on the ExPASy server. In: Walker M, editor. The proteomics protocols Handbook. Humana press; 2005: 571-607.
12. Pieper U, Webb B M, Dong GQ, Schneidman-Duhovny D, Fan H, Kim SJ, Khuri N, Spill YG, Weinkam P, Hammel M, Tainer JA, Nilges M, Sali A. ModBase, a database of annotated comparative protein structure models and associated resources. *Nucleic Acids Res.* 2014; 42: D336-46.
13. Guex N, Peitsch MC. SWISS-MODEL and the SWISS-PDBViewer: An environment for comparative protein modeling. *Electrophoresis.* 1997; 18: 2714-2723.
14. Sippl MJ. Recognition of errors in three-dimensional structures of proteins. *Proteins.* 1993; 17: 355–362.
15. Wiederstein M, Sippl MJ. ProSA-web: interactive web service for the recognition of errors in three-dimensional structures of proteins. *Nucleic Acids Res.* 2007; 35, doi:10.1093/nar/gkm290.
16. Schuler M, Duan H, Bilgin M, Ali S. Arabidopsis cytochrome P450s through the looking glass: a window on plant biochemistry. *Phytochem Rev.* 2006; 5: 205-237.
17. White SH, Ladokhin AS, Jayasinghe S, Hristova K. How membranes shape protein structure. *J Biol Chem.* 2001; 276: 32395-32398.
18. Zhao B, Moody SC, Hider RC, Lei L, Kelly SL, Waterman MR, Lamb DC. Structural analysis of cytochrome P450 105N1 involved in the biosynthesis of the Zincophore, Coelibactin. *Int J Mol Sci.* 2012; 13: 8500-8513.
19. Szczesna-Skorupa E, Mallah B, Kemper B. Fluorescence resonance energy transfer analysis of cytochromes P450 2C2 and 2E1 molecular interactions in living cells. *J Biol Chem.* 2003; 278: 31269-31276.
20. Davydov DR. Microsomal monooxygenase as a multienzyme system: the role of P450-P450 interactions. *Expert Opin Drug Metab Toxicol.* 2011; 7: 543-558.
21. Nagano S, Li H, Shimizu H, Nishida C, Ogura H, Ortiz de Montellano PR, Poulos TL. Crystal structures of epothilone D-bound, epothilone B-bound, and substrate-free forms of cytochrome P450epoK. *J Biol Chem.* 2003; 278: 44886-44893.
22. Watanabe Y, Fukuyoshi S, Hiratsuka M, Yamaotsu N, Hirono S, Takahashi O, Oda A. Prediction of three-dimensional structures and structural flexibilities of wild-type and mutant cytochrome P450 1A2 using molecular dynamics simulations. *J Mol Graph Model.* 2016; 68: 48-56.

23. Montellano PROde. Cytochrome P450: structure, mechanism, and biochemistry. New York: Kluwer Academic/Plenum; 2005.
24. Tanaka A, Fukui S. Metabolism of n-alkanes. In: Tanaka A, Fukui S, editors. The yeast. New York: Academic Press; 1989: 261-287.
25. van Beilen JB, Li Z, Duetz WA, Smits THM, Witholt B. Diversity of alkane hydroxylase systems in the environment. Oil Gas Sci Technol. 2003; 58: 427-440.
26. Yazdanpanah-Samani M, Zamani MR, Motallebi M, Moghaddassi Jahromi Z. Heterologous expression of Chit36 from *Trichoderma atroviride* in prokaryotic system. J Cell Mol. Res. 2015; 28(3): 448-457. [In Persian]